

تأثیر تکتونیک نمک در تاقدیس کورده بر تغییرات ضخامت، رخساره‌ها، محیط رسوبی و دیاژنز سازند سروک (فارس، زاگرس)

رعنا پورش، دانشجوی کارشناسی ارشد رسوب‌شناسی و سنگ‌شناسی رسوبی دانشگاه فردوسی مشهد، ایران

* رضا موسوی حرمی، استاد گروه زمین‌شناسی دانشگاه فردوسی مشهد، ایران*

محمد خانه باد، استادیار گروه زمین‌شناسی دانشگاه فردوسی مشهد، ایران

علیرضا پیریایی، دکترای رسوب‌شناسی و سنگ‌شناسی رسوبی، مدیریت اکتشاف نفت، ایران

محمد حسین اصیلیان، دکترای رسوب‌شناسی و سنگ‌شناسی رسوبی، مدیریت اکتشاف نفت، ایران

چکیده

برای بررسی تأثیر گند نمکی بر رخساره‌ها، محیط رسوبی و دیاژنز سازند سروک در تاقدیس کورده، سه برش در نزدیکی گند نمکی کورده برداشت و مطالعه شده است. سازند سروک در این سه برش، ضخامت‌های 25 (نزدیک به گند)، 90 و 185 متر (دورتر از گند) دارد که بیشتر از لایه‌های سنگ آهک تشکیل شده است. براساس آنالیز رخساره‌ای و ویژگی‌های سنگ‌شناختی، 10 ریزرخساره کربناته شناسایی شدند. آنالیز رخساره‌ها، شبیه زیاد رسوبات، اختلاف ضخامت، کاهش میان لایه‌ای رسوبات شیلی و کم عمق شدن محیط به‌سمت گند نمکی نشان می‌دهد رخساره‌های سازند سروک در سه کمرنگ رخساره‌ای شلف خارجی، میانی و داخلی نهشته شده است. با نزدیکشدن به گند نمکی، رخساره‌ها کم عمق می‌شوند؛ به طوری که ریزرخساره پهنه جزو رمدی در حاشیه گند قرار گرفته و ریزرخساره عمیق در دورترین فاصله از گند تشکیل شده است. فرایندهای دیاژنزی تأثیرگذاشته بر این سازند، میکریتی شدن، نئومورفیسم، انحلال، فشردگی، شکستگی، جانشینی (سیلیسی شدن، دولومیتی شدن، هماتیتی شدن و پیریتی شدن) و سیمانی شدن (سیمان هم بعد، دروزی، بلوکی، رو رشدی هم محور و حاشیه‌ای هم ضخامت) است که همراه تغییراتی مانند شکستگی و دولومیتی شدن با یورکلست‌ها، کاهش انحلال، افزایش فشردگی و سیلیسی شدن به‌سمت گند نمکی در سه مرحله اثرزن، مژوزن و تلوژن تشكیل شده است.

کلیدواژه‌ها: رخساره‌ها و محیط رسوبی، دیاژنز، سازند سروک و تاقدیس کورده

Email:

*نویسنده مسئول: 09151100937

moussavi@um.ac.ir

Copyright©2017, University of Isfahan. This is an Open Access article distributed under the terms of the Creative Commons Attribution License (<http://creativecommons.org/licenses/BY-NC-ND/4.0>), which permits others to download this work and share it with others as long as they credit it, but they can't change it in any way or use it commercially.

مقدمه

از این پژوهش، مطالعه تأثیر گند نمکی بر ریزرسانه‌ها، محیط رسوبی و دیاژنر سازند سروک است.

زمین‌شناسی منطقه

منطقه مطالعه‌شده در حوضه زاگرس استان فارس است (شکل 1). در برش‌های مطالعه‌شده در تاقدیس کورده، مرز پایینی سازند سروک با سازند کژدمی به صورت تدریجی و مرز بالایی آن با سازند ایلام به صورت ناپیوستگی فرسایشی است (شکل 2). در منطقه مطالعه‌شده، سازند سروک (سنومانین) از جنس سنگ آهک با ضخامت‌های 185 متر (دورتر از گند نمکی، Kourdeh3)، 90 متر (Kourdeh 2) و 25 متر دولومیت (نژدیک به گند نمکی، Kourdeh1) است (شکل 3 و 4). فعالیت تکتونیکی عملکرد نوسانات مکرر سطح آب دریا به ایجاد ناپیوستگی در زمان سنومانین - سانتونین بین سازندهای سروک و ایلام منجر شده است (Rahimpour-Bonab et al. 2013) برخورد بین صفحه عربستان و بلوک ایران (Sherkati and Letouzey 2004; Jahani et al. 2009) و در رژیم فشردگی در میوسن - پلیوسن تشکیل شده است (Vincent et al., 2015). در زمان سنومانین پسین، اقیانوس نئوتیس شروع به بسته‌شدن کرده و فرورانش پوسته اقیانوسی به زیر صفحه ایران مرکزی در حاشیه فعال صورت گرفته است (Piryaei et al. 2010, Assadi et al. 2016; 2011). در زمان آلین پسین سنومانین بهدلیل پسروی، پلاتفرم‌های کربناته محیط کم عمق سازند سروک در تمام مناطق فارس و خوزستان تشکیل شده‌اند (Setudehnia 1978). تشکیل بلندای قدیمی در زمان کرتاسه میانی (Hajikazemi et al. 2012; Rahimpour- Bonab et al. 2013) و بالاًمدگی ناحیه‌ای در پایان سنومانین به‌طور ناحیه‌ای به فرسایش و نازک‌شدگی بخش بالایی سنومانین منجر شده است. بعد از این ناپیوستگی پلاتفرم کربناته محیط کم عمق خوزستان بخش بالایی و در بعضی مکان‌ها همه سازند سروک، درنتیجه فرسایش مربوط به ناپیوستگی زمان تورونین

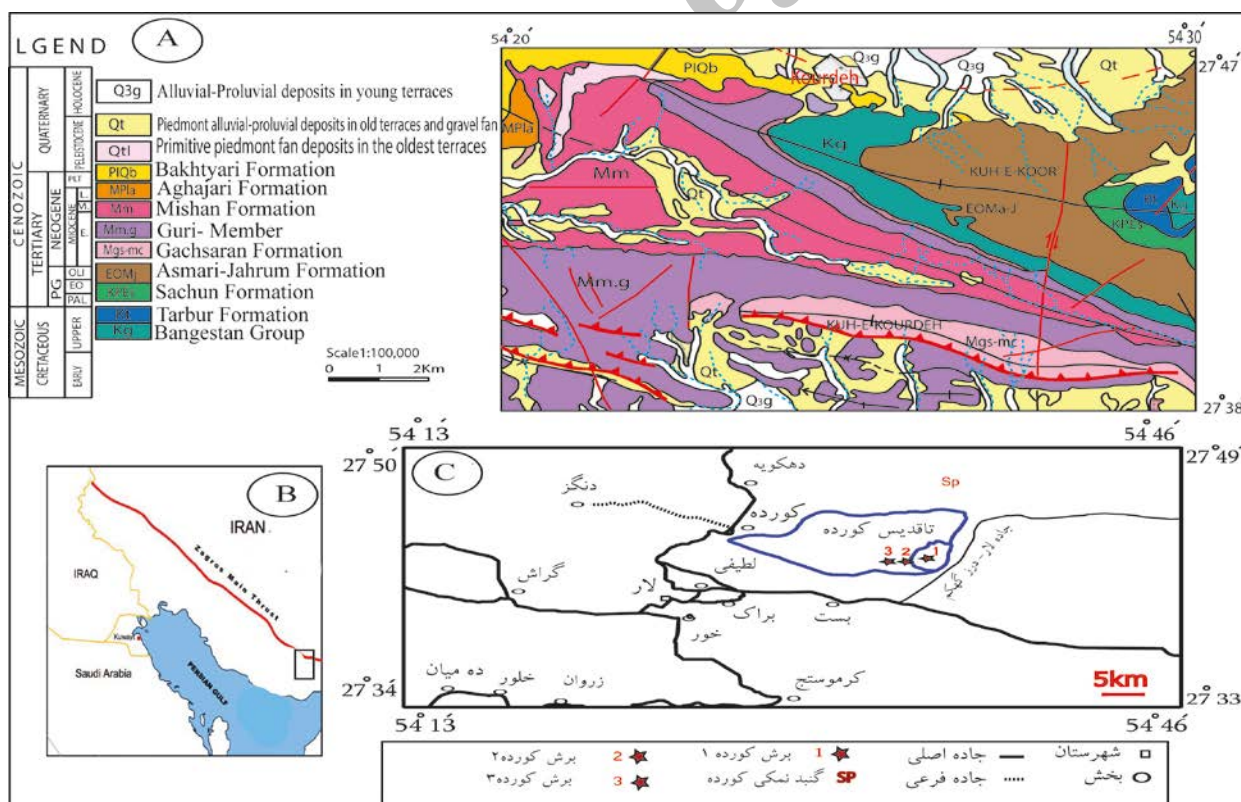
حوضه زاگرس یکی از مهم‌ترین مناطق نفت‌خیز در جهان است که بیش از 50٪ ذخایر نفتی خاورمیانه در سنگ‌های آهکی این حوضه ذخیره شده است (Ehrenberg et al. 2008). بعد از سازند آسماری، سازند سروک مهم‌ترین سنگ مخزن نفت در جنوب غرب ایران است. پهنه فارس بخشی از (Asadi mehmandost et al. 2013; Soleimani and Aleali 2016) کمرنگ ساده چین‌خوردگی زاگرس است که در محدوده بین گسل زاگرس بلند در شمال، خط ساحلی خلیج فارس در جنوب، پهنه گسل کازرون در باخته و گسل میناب در خاور واقع شده است. گسل‌های با روند شمالی - جنوبی (گسل کازرون - هندیجان) در زمان‌های مختلف فعال بودند که منطقه فارس را از فروافتادگی دزفول و ناحیه لرستان جدا کرده است (Vincent et al. 2015). پلیر (Player 1969)، بسیاری از دیاپیرهای زاگرس را مطالعه کرده و اظهار داشته است که قدیمی‌ترین رخنمون فعالیت نمک به فعالیت دیاپیرها پیش از چین‌خوردگی زاگرس مربوط است. جهانی و همکاران (Jahani et al. 2009) با مطالعات روی دیاپیرهای نمکی به این نتیجه رسیدند مدت اندکی پس از تشکیل نمک سری هرمز، این نمک‌ها در زمان پالئوزوئیک پیشین به سمت بالا شروع به حرکت کرده‌اند. همچنین موقعیت دیاپیرها نسبت به چین‌های موجود در زاگرس و تأثیر این دیاپیرهای نمکی را نسبت به چین‌های زاگرس بررسی کرده‌اند. حسن‌پور (1392)، ارتباط ساختاری دیاپیرهای نمکی سلامتی، سیاه‌سرخ و دادنجان با گسل کره بس و چین‌های هم‌جوار (جنوب باخته شیراز) را مطالعه کرد و نتیجه گرفت دیاپیرهای نمکی گستره مطالعه‌شده، پیش از چین‌خوردگی نئوژن زاگرس وجود داشته است و پس از نخستین حرکت نمک، سازوکار اصلی خیشش و رشد دیاپیرها تا زمان چین‌خوردگی زاگرس یک پدیده فروسازش بوده و فروسازش در داخل مراکز رسوب‌گذاری حاشیه دیاپیرها فضای مناسبی برای رسوب‌گذاری ایجاد کرده است. هدف

کورده (زاگرس، فارس) انتخاب و با فاصلهٔ تقریبی 1000-500 متر در نزدیک به گند نمکی برداشت شده است. از این سه برش، تعداد 85 مقطع نازک تهیه شده که نمونه‌برداری‌ها در جهت عمود بر لایه و براساس تغییراتی نظیر جنس، رنگ، ساخت و لایه‌بندی صورت گرفته است. برای شناسایی نوع کانی‌های کربناته (تشخیص کلسیت از دولومیت)، تعدادی از نمونه‌ها با محلول آلیزارین قرمز مطابق روش دیکسون (Dickson 1966) رنگ‌آمیزی شده است. در این مطالعه، ویژگی‌هایی مانند اجزای تشکیل‌دهنده، نوع رخساره، محیط رسوبی و فرایندهای دیاژنزی مطالعه شدند. برای نام‌گذاری رخساره‌های کربناته از روش دانهام (Dunham 1962) و امبری و کلوان (Embry and Klovan 1971) در مقاطع نازک استفاده شده است.

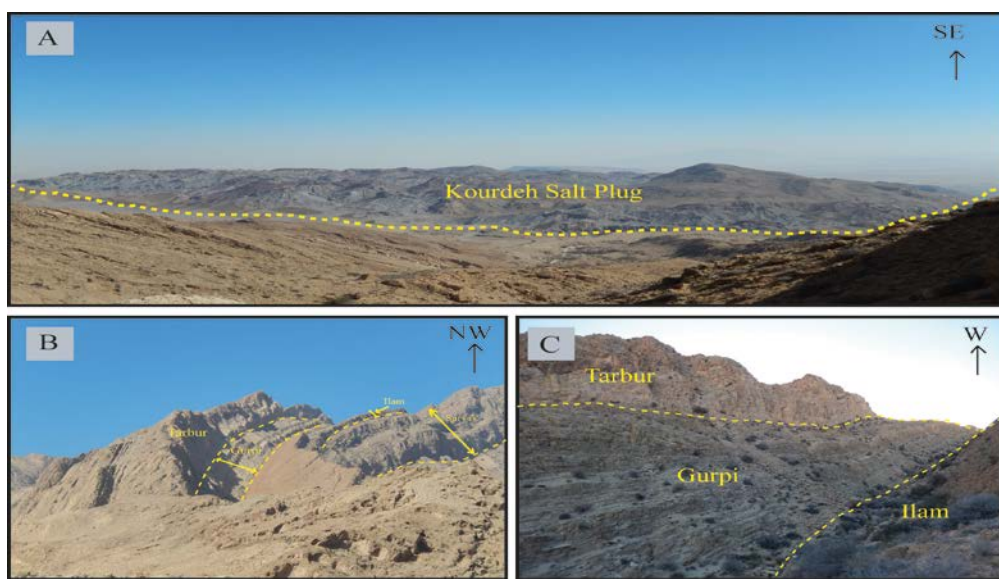
میانی برداشته شد (Assadi et al. 2016). گند نمکی کورده در قسمت جنوب شرقی تاقدیس کورده واقع شده است و سازندهای قدیمی گروه خامی، بنگستان، گورپی و تاربور در قسمت شمال و شمال غرب گند و سازند بختیاری در جنوب شرق آن رخنمون دارد که دو بلوك بزرگ از گروه خامی به صورت شناور در قسمت جنوبی و شرقی گند مشاهده می‌شود و روند گند شمال شرق جنوب غربی است (حاجیان و همکاران. 1389). برش الگوی این سازند در شمال غربی شهرستان بهبهان قرار گرفته است (James & Wynd 1965).

روش مطالعه

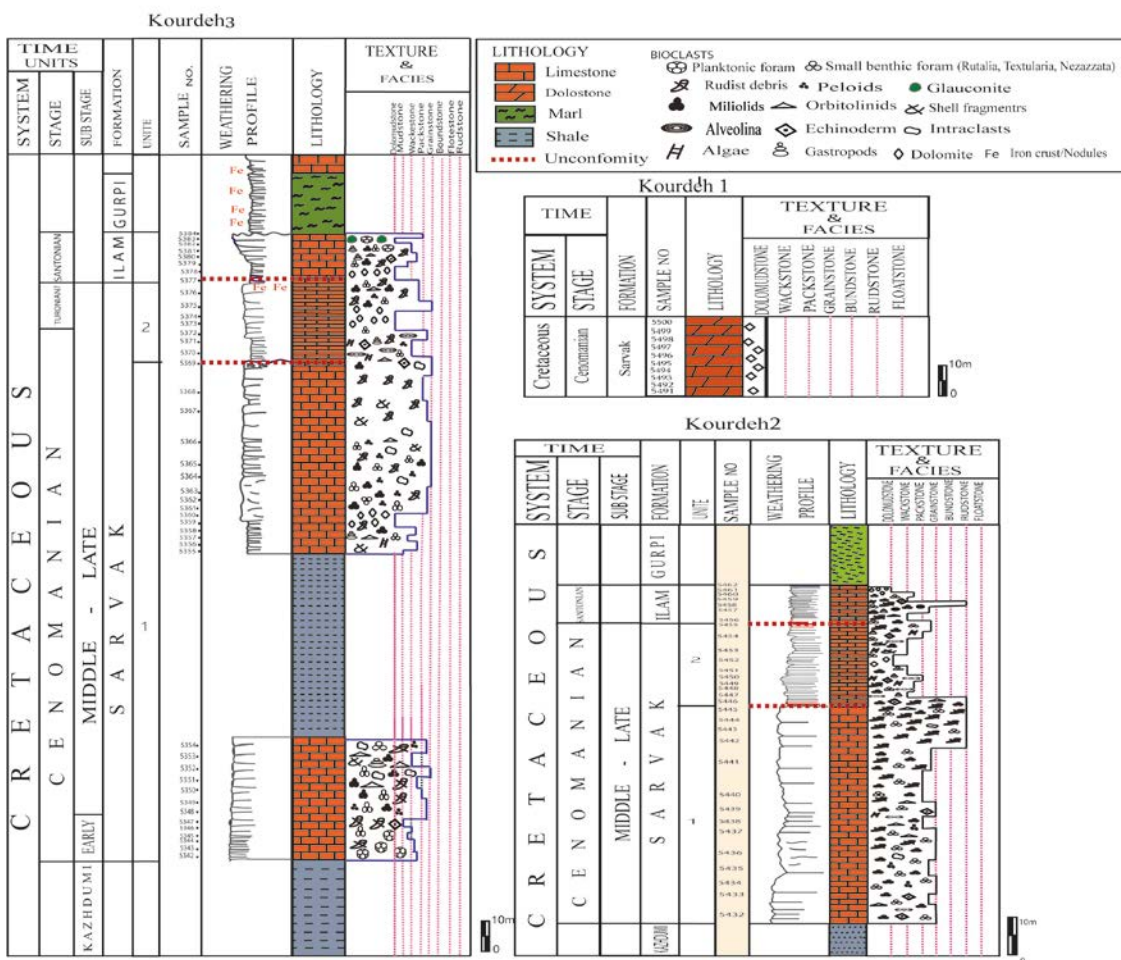
پس از انجام بررسی‌های اولیه، تعداد 3 برش چیمه سنگی (نزدیک گند نمکی کورده) از سازند سروک در تاقدیس



شکل ۱- (A) قسمتی از نقشه زمین‌شناسی 1:100000 لار که در آن کوه کورده و سازندهای اطراف مشخص شده است (اقتباس ازاویسی و یوسفی 1385)، (B) موقعیت ناحیه مطالعه شده و (C) راههای دسترسی به منطقه مطالعه شده.



شکل 2- تصاویر صحراوی از سازندهای سروک در برش‌های مطالعه شده. (A) نمایی دور از گنبد نمکی کورده، موقعیت سازندهای سروک و ایلام در برش Kurdeh 3 (B) مرز بالایی سازند ایلام با گورپی در برش 3 (C) مرز بالایی سازند ایلام با گورپی در برش 3



شکل 3- ستون چینه‌سنگی سازند سروک در برش‌های Kourdeh 3، Kourdeh 2 و Kourdeh 1

وکستون آلوئولینادار (Mf2)

اجزای تشکیل دهنده اصلی این ریزرخساره (شکل 5B)، فرامینیفر بتیک از نوع آلوئولینا بوده است که در اندازه حدود 3/75-1 میلی‌متر و به صورت سالم و حفظ شده دیده می‌شود. از اجزای اسکلتی دیگر جلبک‌های سبزداسی کلادانسه‌آ هستند که به صورت خردۀایی در زمینه گلی دیده می‌شوند و اجزای دیگر خردۀای رو دیست، گاستروپود و اکینودرم هستند که اجزای بایوكاستی در مجموع 30٪ را شامل و به صورت پراکنده در مقطع سنگ دیده می‌شوند. این رخساره، زمینه میکریتی دارد.

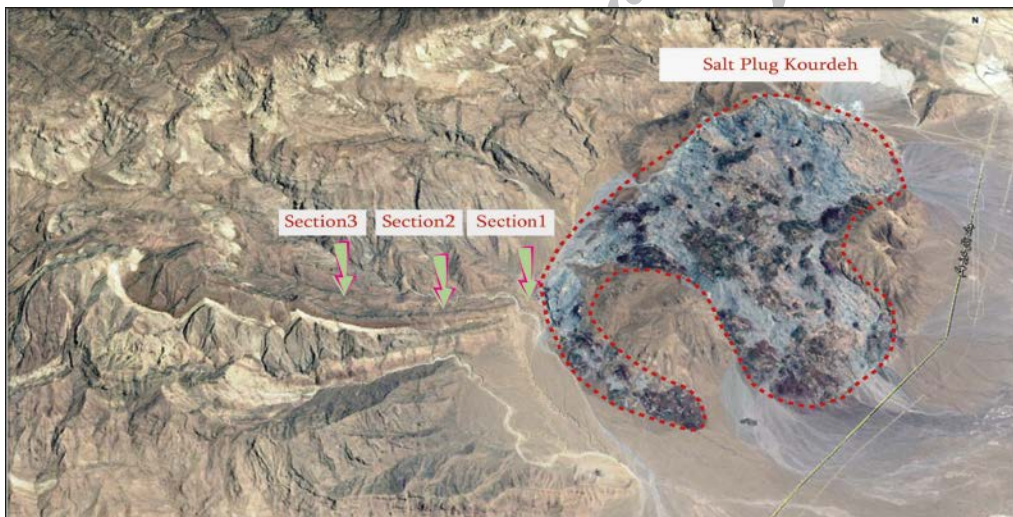
رخساره‌ها و محیط رسوبی

براساس مطالعات میکروسکوپی، 10 ریزرخساره در سازند سروک در تاقدیس کورده، شناسایی که در سه مجموعه شلف داخلی، میانی و خارجی نهشته شده‌اند. این ریزرخساره‌ها از خشکی به سمت دریای باز به شرح زیر هستند:

رخساره‌های شلف داخلی

دولومادستون (Mf1)

این ریزرخساره از بلورهای خیلی ریز تا ریز دولومیت بی‌شکل 10 تا 30 میکرون تشکیل شده است و اجزای اسکلتی و غیر اسکلتی ندارد. به طور کلی ژیپس‌ها در زمینه به صورت پراکنده دیده می‌شوند (شکل 5A).



شکل 4- تصویر ماهواره‌ای از گند نمکی کورده و برش‌های برداشت شده از سازند سروک در موقعیت‌های Section 1 (برش K1)، Section 2 (برش K2) و Section 3 (برش K3).

فراوانی حدود 25٪، روتالیا، تکستولاریا، نتزاتا و آلوئولینا با فراوانی 20٪ و اکینودرم با فراوانی 5٪ و اجزای غیر اسکلتی این ریزرخساره، ایترالکلست‌های میکریتی با اندازه 1/25-0/5 با فراوانی 10٪ را شامل می‌شود (شکل C).

گرینستون با فرامینیفر بتیک (Mf3)

اجزای اصلی تشکیل دهنده این ریزرخساره، فرامینیفر بتیک است. فرامینیفرهای بتیک از نوع اربیتولین است که در این ریزرخساره، مخروطی شکل (Conical) بوده است و نسبت طول به ارتفاع پایین‌تری نسبت به اربیتولین‌های کشیده دارند. اندازه این اربیتولین‌ها 3-2/5 میلی‌متر تغییر می‌کند و فراوانی آنها حدود 20٪ است. علاوه بر اربیتولین‌ها، فرامینیفرهای بتیک از نوع میلیولیده با اندازه 1/25-0/5 میلی‌متر با

گرینستون / رودستون رودیستی با فرامینیفر بتیک (Mf4)

اجزای تشکیل دهنده این ریزرخساره، قطعات رودیستی با اندازه 0/5-2/5 میلی‌متر با فراوانی 60٪ است. از اجزای

ایتراکلست‌ها در آن به صورت پراکنده با اندازه حدود 2 تا 7 میلی‌متر است. این ایتراکلست‌ها به صورت قطعاتی حاوی فرامینیفرهای بتیک هستند که در زمینه سیمانی شده قرار گرفته‌اند (شکل G).

تفسیر

وجود دولومیت‌های ریزبلور در این مجموعه رخساره‌ای نشان‌دهنده رسوب‌گذاری در محیط‌های پهنه جزو مردمی است (Heidari et al. 2014). تبخیری‌ها در حاشیه نایاب‌دار گنبد بر اثر بالآمدگی گنبد و قرار گرفتن در بالای سطح آب دریا تشکیل می‌شوند (Giles and Rowan 2012). نبود فسیل در این ریزرساره نشان‌دهنده چرخش محدود آب و نبود شرایط مناسب برای زیست موجودات است. رخساره‌های لاغونی، بیشتر گل پشتیبان بوده و از موجودات محیط‌های محدود و دانه‌های غیراسکلتی شکل گرفته در این محیط‌ها تشکیل شده‌اند. آب‌وهوای نیمه‌خشک و چرخش آب محدود به ایجاد شرایط نسبتاً شور با موجودات محدود منجر می‌شود. ویژگی‌های بافتی، فراوانی میلیولیده و نبود فرامینیفرهای بزرگ، وجود دوکفه‌ای، خرددهای جلبک سبز، ایتراکلست و میکریتی شدن خرددهای اسکلتی در بسیاری از رخساره‌های وکستونی و پکستونی نشان‌دهنده یک لاغون Flugel نیمه‌محصور با نوسانات بالای شوری و دما است (Palma et al. 2010). پلوئیدها از اجزای غیراسکلتی تشکیل‌دهنده این رخساره‌ها هستند که وجود آنها در زمینه گل آهکی نشان‌دهنده محیط کم‌انرژی است (Palma et al. 2007). رخساره لاغونی با نسبت گل و درصدی از فراوانی فرامینیفرهای بتیک، گاستروپود و دوکفه‌ای تشخیص داده می‌شود (Aghaei et al. 2012). میلیولیده، آلوئولینا، پلوئیدها و فراوانی خرددهای رو دیستی تو صیف‌کننده محیط لاغون هستند (Razin et al. 2010). حاشیه پلاتفرم کربناته با وجود گرینستون رو دیستی مشخص می‌شود (Ghabeishavi et al. 2010). وجود اربیتولین‌های مخروطی شکل نشان‌دهنده

دیگر فرامینیفرهای بتیک از نوع میلیولیده با اندازه 0/75 – 0/25 میلی‌متر و تکستولاریا با فراوانی 20٪ هستند و همچنین اجزای غیراسکلتی این ریزرساره را ایتراکلست‌های میکریتی با فراوانی 10 – 5٪ و پلوئیدها با اندازه 0/125 – 0/25 میلی‌متر با فراوانی 5٪ تشکیل می‌دهند (شکل D).

پکستون با فرامینیفر بتیک (Mf5)

زمینه این ریزرساره از میکریت تشکیل شده است. اجزای اسکلتی اصلی این ریزرساره اکینودرم با اندازه 0/25 – 0/05 میلی‌متر با فراوانی 5٪، فرامینیفرهای بتیک از نوع میلیولیده با اندازه 1 – 0/25 میلی‌متر با فراوانی 25٪ و تکستولاریا و روتالیا 10٪ هستند. رو دیستهای مشاهده شده در این ریزرساره با اندازه 2/5 – 1/25 میلی‌متر با فراوانی 20٪ و نیز از اجزای غیراسکلتی پلوئیدهای در اندازه حدود 0/125 – 0/25 میلی‌متر با فراوانی در حدود 5٪ است (شکل E).

پکستون / وکستون با یوکلستی اربیتولین دار (Mf6)

این ریزرساره، اجزای اسکلتی از نوع گاستروپود در اندازه حدود 2/5 – 0/25 میلی‌متر با فراوانی 10٪ دارند و بیشتر حجره‌های تشکیل دهنده آنها با گل پر شده است. علاوه بر گاستروپود، اجزای اسکلتی دیگر مانند اربیتولین با اندازه 2/5 – 3/75 میلی‌متر به صورت دیسکی شکل با فراوانی 10٪، جلبک سبز به صورت خرددهایی با فراوانی 5٪، رو دیست با اندازه حدود 0/75 – 1 میلی‌متر و با فراوانی 5٪ واکینودرم 0/5 میلی‌متر و فراوانی 2 – 3٪ را شامل می‌شوند. زمینه این ریزرساره از میکریت است (شکل F).

پکستون ایترا کلست دار (Mf7)

زمینه این ریزرساره را گل تشکیل داده است که

تفسیر

وجود خرددهای رودیستی در اندازه بزرگتر از 2 میلی‌متر و خرددهای مرجان در همان اندازه نشان‌دهنده تشکیل این ریزرخساره در بخش جلویی ریف است (Wilson 1975). وجود فرامینیفرهای پلاژیک در رخساره وکستون و پکستون نشان‌دهنده تشکیل این رخساره در بخش‌های عمیق یا دورتر بخش میانی حوضه است (Mehrabi et al. 2015).

مجموعه رخساره شلف خارجی

وکستون / پکستون حاوی فرامینیفر پلاژیک (Mf10)

روزنداران پلاتکتونی (شکل C 6) از نوع Favusella Washitensis در یک زمینه میکریت تقریباً 50٪ اصلی‌ترین اجزای تشکیل‌دهنده این ریزرخساره است. این ریزرخساره، فونای آب‌های کم‌عمق، ذرات آواری و اجزای غیراسکلتی ندارد.

تفسیر

وجود مقدار فراوانی فرامینیفر پلاژیک نشان‌دهنده شرایط محیط دریایی باز عمیق است (Schulze et al. 2005). تغییرات رخساره‌ای از گند نمکی به‌سمت حوضه از رخساره‌های کم‌عمق تا عمیق تغییر می‌کند؛ به‌طوری‌که در برش دورتر از گند رخساره حوضه عمیق تشکیل می‌شود (Aschoff and Giles 2005). این ریزرخساره در فاصله دور از گند نمکی تشکیل شده است.

وجود شرایط کم‌عمق است (Pittet et al. 2002). اجزای موجود در داخل قطعات ایترالکلستی از فرامینیفرهای بتیک (Nezzata, Textularia, Rutalia, Miliolid) بخش کم‌عمق شلف داخلی هستند که این قطعات به بخش‌های مذکور مرتبط هستند؛ درنتیجه، این قطعات ایترالکلست نابرجا یا اکسترالکلست هستند که در ریزرخساره با زمینه گلی مشاهده می‌شوند.

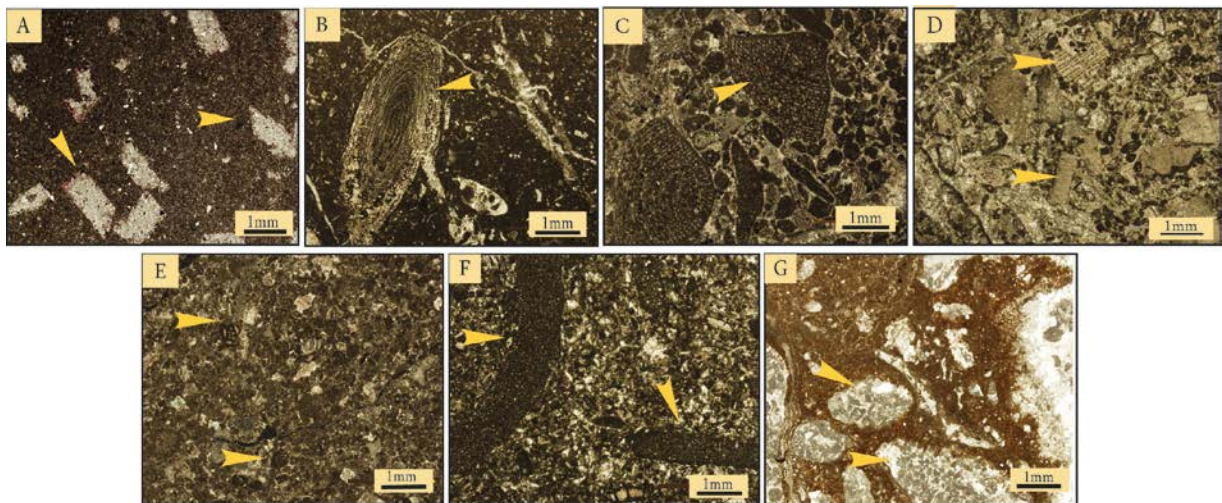
رخساره‌های شلف میانی

پکستون / رودستون رودیستی با مرجان (Mf8)

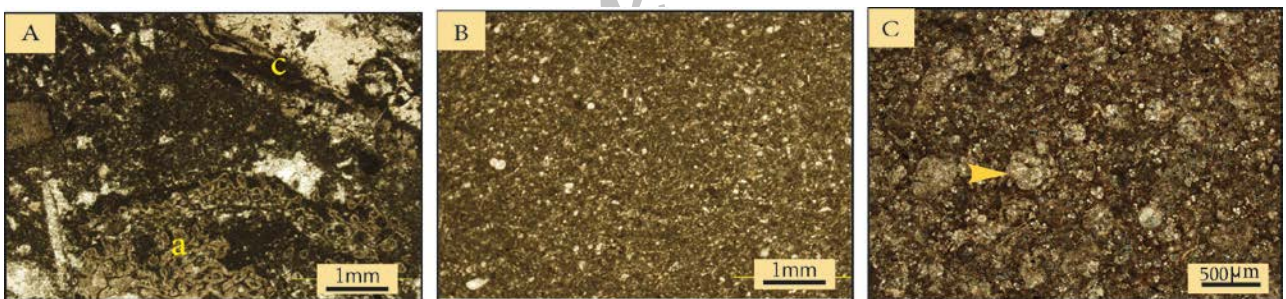
اجزای اصلی تشکیل‌دهنده این ریزرخساره، خرددهای رودیستی با اندازه 3-0/25 میلی‌متر با فراوانی 30٪ و مرجان با فراوانی 20٪ را شامل می‌شود. اجزای غیراسکلتی تشکیل‌دهنده این رخساره، ایترالکلست‌ها هستند که اندازه آنها از 0/75-1/75 میلی‌متر تغییر می‌کند و فراوانی حدود 10٪ دارد (شکل A 6).

وکستون با یوکلست‌دار (Mf9)

این ریزرخساره با زمینه گلی بوده و یکی از اجزای تشکیل‌دهنده آن روزنداران بتیک شامل روتالیا، تکستولاریا بوده است و دیگر اجزا کلسی اسفرها هستند. فراوانی با یوکلست‌ها در این ریزرخساره به 30 تا 40٪ می‌رسد. با یوکلست‌هایی مانند روتالیا و تکستولاریا کلسیتی شده‌اند. با یوکلست‌ها به‌طور واضح مشخص نیستند (شکل B 6).



شکل 5- تصاویر میکروسکوپی رخساره‌های شلف داخلی سازند سروک (A) ریزرساره دولومادستون با زمینه دولومیت‌های ریز و ژیس (با فلش در شکل نشان داده شده است). (B) ریزرساره وکستون آلوئولیندار (با فلش نشان داده شده است). (C) ریزرساره گرینستون با فرامینیفر بتیک (اریتوولین‌ها با فلش نشان داده شده‌اند) (D) ریزرساره گرینستون / روستون رودیستی با فرامینیفر بتیک (رودیست‌ها در شکل نشان داده شده‌اند) (E) ریزرساره پکستون با فرامینیفر بتیک (میلولیده‌ها با فلش نشان داده شده‌اند) (F) ریزرساره پکستون / وکستون با یوکلستی اریتوولین‌دار (اریتوولین‌های دیسکی شکل با فلش نشان داده شده‌اند) (G) ریزرساره پکستون ایتراکلست‌دار (ایتراکلست‌های حاوی فرامینیفر بتیک با فلش نشان داده شده‌اند).



شکل 6- تصاویر میکروسکوپی رخساره‌های رسوبی شلف میانی و خارجی سازند سروک (A) ریزرساره پکستون / روستون رودیستی مرجان‌دار (رودیست (C) و مرجان (a) نشان داده شده است) - شلف میانی (B) ریزرساره وکستون با یوکلست‌دار - شلف میانی (C) ریزرساره وکستون / پکستون حاوی فرامینیفر پلاژیک (فرامینیفر پلاژیک در شکل مشخص شده است) - شلف خارجی.

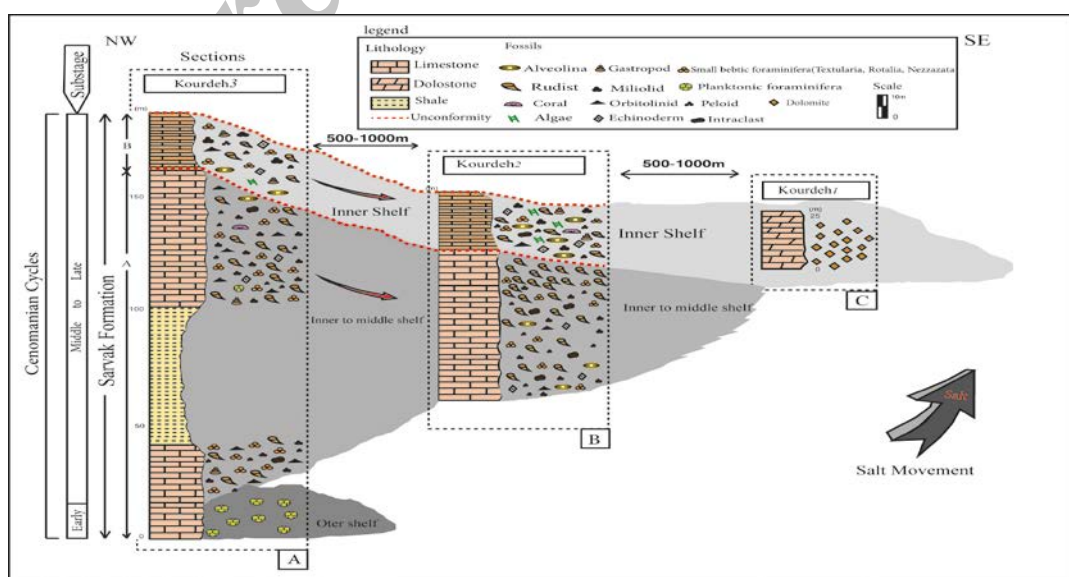
ضخامت رسوبات تشکیل شده بیشتر تغییر کرده است و ضخامت افزایش می‌یابد (Aschoff & Giles, 2005). در منطقه مطالعه شده در برش نزدیک به گنبد نمکی فقط رخساره‌های محیط کم عمق و در فاصله دورتر، رخساره‌های محیط کم عمق و عمیق دریا تشکیل شده است و همچنین کاهش و ناپدیدشدگی رسوبات شیلی (در میان آهک‌های سازند سروک در برش K3) به سمت گنبد نمکی، کم عمق شدگی و تغییرات

محیط رسوبی

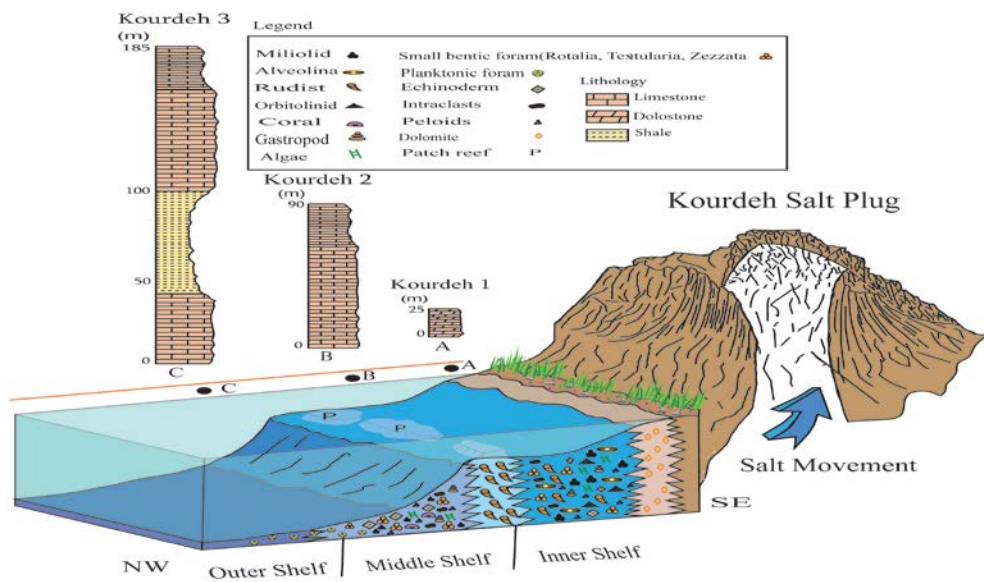
در ناحیه کورده، برش‌های برداشت شده در نزدیکی گنبد نمکی، کاهش ضخامت سازند سروک را نشان می‌دهد؛ به گونه‌ای که کمترین ضخامت 25 متر، دولومیت) به برش نزدیک به گنبد نمکی (Kourdeh 1) و بیشترین ضخامت 185 متر) که سنگ آهک است به برش دور از گنبد نمکی (Kourdeh 3) مربوط است (شکل 7). با دورشدن از گنبد،

زیادی دارد (Giles & Lawton 2002; Kernen et al. 2012). نمک‌های هرمز، هستهٔ دیاپیرهای نمکی را تشکیل می‌دهند که در پایان پرتوروزئیک ته نشست یافته‌اند و بالاًمدگی آن در زمان پالئوزوئیک پیشین صورت گرفته است (Perotti et al. 2016). آخرین فعالیت گند نمکی کورده براساس رخنمون‌های سطحی به زمان میوسن (Harrison 1930; Jahani et al. 2007) و پلیوسن - عهد حاضر مربوط است (حاجیان و همکاران 1389). بر اثر حرکت و بالاًمدگی گند نمکی کورده در زمان سنومانین، رسوبات سازند سروک در محیطی با شیب بیشتر (محیط شلف کربناته) تشکیل شده‌اند که با تأثیر این بالاًمدگی، تغییرات ضخامتی (کاهش ضخامت) و رخساره‌ای (تشکیل و تبدیل رخساره‌های عمیق به کم عمق به‌سمت گند نمکی) صورت گرفته است. باید توجه داشت که نبود رسوب‌گذاری در سنومانین ممکن است نشان‌دهنده این مطلب باشد که به‌طور محلی با بالاًمدن نمک در ارتباط است. گفتنی است بالاًمدن نمک به‌دلیل خاصیت پلاستیکی آن است که محیط کم عمق را در محدوده گند و عمیق را دورتر از آن ایجاد می‌کند. همچنین تأثیر کاهش عمق بر سیالات محبوس در خلل و فرج رسوبات مؤثر است و فرایندهای دیاژنیزی را کنترل می‌کند.

زیاد شیب حوضه را نشان می‌دهد. مطالعات مشابهی در خلیج مکریک در رسوبات سازند Potrerillos به سن کرتاسه بالایی - پالئوژن و سازند Carroza به سن ائوسن در نزدیکی دیاپیر El Papalote در حوضه El Papalote انجام شده است که تغییرات رخساره‌ای به‌طور محلی از گند نمکی به‌سمت حوضه از رخساره‌های کم عمق تا عمیق است؛ به‌طوری‌که در فاصله دورتر از گند نمکی، رخساره حوضه عمیق و به‌سمت گند نمکی، رخساره‌های کم عمق تشکیل می‌شوند (Giles & Lawton 2002; Andrie et al. 2012). هرچند ممکن است براساس تغییرات رخساره‌ای یک رمپ کربناته را نشان دهد، با یک نگاه ناحیه‌ای و تغییرات رخساره‌ای و تغییر ضخامت‌های بزرگ مقیاس متوجه می‌شویم که تنوع محیطی در تشکیل سازند سروک بسیار زیاد بوده است که از حالت رمپ کربناته در بعضی از نقاط حوضه زاگرس تا پلاتفرم کربناته از نوع شلف به‌طور محلی مربوط به بالاًمدگی گند نمکی (ناحیه کورده) در تغییر بوده است. پس سازند سروک به‌طور محلی و بر اثر پدیده بالاًمدگی گند نمکی در ناحیه کورده در محیط شلف کربناته نهشته شده است (شکل 8) که به شرایط تشکیل رسوبات در زمان کرتاسه بالایی - پالئوژن در نزدیکی دیاپیر El Papalote در خلیج مکزیک شباهت



شکل 7- تغییرات ضخامت و رخسارهای در سه برش برداشت شده در نزدیکی گند نمکی - رسوبات کربناته سازند سروک کاهش ضخامت (A) Kourdeh 1 (25 m) (B) Kourdeh 2 (90 m) (C) Kourdeh 3 (185 m) به مت گند نمکی را نشان می‌دهد.



شکل 8- مدل رسوبی پیشنهادی برای سازند سروک در تاقدیس کورده (فارس، زاگرس).

گند نمکی نسبت به برش‌های دورتر کاهش یافته است؛ به گونه‌ای که در برش‌های دورتر از گندهای نمکی، بیشتر فرامینیفرهای بتیک و در حاشیه رودیست‌ها و در برش نزدیک، بیشتر فرامینیفرهای بتیک و کمتر رودیست‌ها تحت تأثیر این فرایند قرار گرفته‌اند.

نمورفیسم

در نمونه‌های مطالعه شده، نمورفیسم تشکیل شده از نوع افزایشی است که بیشتر در رخسارهای وکستون - پکستون - گرینستونی و تبدیل میکرایت به اسپار و درشت‌شدگی اندازه بلورهای اسپار دیده می‌شود. این فرایند بر اجزای اسکلتی با ترکیب ناپایدار مانند پوسته‌های دوکه‌ای و گاستروپود تأثیرگذار است. در این فرایند، بلورهای اولیه پوسته به بلورهای درشت کلسیت تبدیل شده است (شکل B) و همچنین تبدیل میکرایت به کلسیت و درشت بلور در بعضی مقاطع دیده می‌شود. با دورشدن از گند نمکی، نمورفیسم کاهش می‌یابد.

دیاژنز

از جمله فرایندهای دیاژنزی مشاهده شده در سازند سروک، میکرایتی شدن، نومورفیسم، انحلال، فشردگی (فیزیکی و شیمیایی)، شکستگی و پرشدگی، جانشینی (سیلیسی شدن، دولومیتی شدن، هماتیتی شدن و پیریتی شدن)، سیمانی شدن (بلوکی، موزائیک دروزی، رورشده هم محور و حاشیه‌ای هم ضخامت) را شامل می‌شود.

میکرایتی شدن

در برش‌های مطالعه شده، میکرایتی شدن (شکل A) بیشتر در رخسارهای لاگونی و گرینستونی به خصوص در فرامینیفرهای بتیک یا در حاشیه اجزای اسکلتی مانند پوسته‌های دوکه‌ای دیده می‌شود. این فرایند بر رودیست‌ها و فرامینیفرهای بتیک مانند میلیولیدها، تکستولاریا و اربیتولین را تأثیر گذاشته است؛ به گونه‌ای که در بعضی جاها میکرایتی شدن، پلوئیدی شدن آنها را موجب شده است. میکرایتی شدن در برش‌های نزدیک به

در نمونه‌های مطالعه شده از سازند سروک، استیلولیتی شدن در رخساره پکستون / وکستون دیده می‌شود (شکل F).

شکستگی و پرشدگی

در بیشتر نمونه‌های مطالعه شده، شکستگی‌ها و رگه‌ها با کلسیت هم بعد، دروزی و در بعضی موارد با دولومیت‌های رومبودر پرشده‌اند (شکل A). بعضی از شکستگی‌ها در مقایس بزرگ و بعضی در مقایس کوچک به صورت رگه‌های نازک وجود دارند. شکستگی‌ها بیشتر در رخساره‌های وکستون، پکستون و رودستون دیده می‌شوند. به طور کلی دو نوع شکستگی شناسایی شد که شکستگی‌های نسل اول در شرایط تدفینی کم عمق به صورت رگه‌های پرشده با کلسیت و قطع کردن فسیل‌ها شناخته شده‌اند و شکستگی نسل دوم در شرایط تدفینی عمیق و پرشدگی بر اثر بالآمدگی صورت گرفته است که با قطع شدگی وسیع زمینه سنگ و تمام فرایندهای دیاژنزی مشخص می‌شود. شکستگی و پرشدگی در برش K3 بیشتر به صورت انحلال یافته یا پرشده با سیمان کلسیتی (هم بعد و دروزی) دیده می‌شود؛ ولی در برش K2 این شکستگی‌ها با سیمان (کلسیت و دولومیت) پر شده‌اند.

جانشینی سیلیسی شدن

سیلیسی شدن در سازند سروک در برش‌های دورتر از گندیده نشده است و تنها در نزدیک‌ترین برش به گند نمکی دیده می‌شود؛ به طوری که سیلیسی شدن فقط بر فضای خالی تأثیرگذار است (شکل B). منشاء سیلیس برای سیلیسی شدن در نزدیکی گند نمکی ممکن است حاصل از سیالات هیدروترمال داغ باشد که در این صورت با دیاژنز عمیق همراه است (حاجیان و همکاران 1389).

دولومیتی شدن

در برش‌های دورتر به صورت کلسیتی شدن پوسته‌های فسیلی و در برش نزدیک‌تر به صورت تبدیل میکریت به اسپار در رخساره پکستون - گرینستون دیده می‌شود.

انحلال

در برش‌های مطالعه شده، انحلال قالبی بایوکلسیت‌ها (رودیست و فرامینیفرهای بتیک مانند آلوئولینا، میلیولیده، تکستولاریا) و در بعضی موارد پرشدگی با سیمان کلسیتی، انحلال در بین دانه‌ها و در امتداد شکستگی‌ها به صورت کانالی صورت گرفته که در بعضی موارد با کلسیت هم بعد و دروزی پر شده است (شکل C). در برش دورتر از گند نمکی، انحلال‌های کانالی در امتداد شکستگی‌ها، انحلال اجزای بایوکلسیتی مانند آلوئولینا، رودیست و انحلال قالبی و حفره‌ای صورت گرفته است؛ ولی در برش نزدیک‌تر، میزان انحلال کاهش یافته است و به صورت انحلال اجزای بایوکلسیتی، حفره‌ای و در امتداد شکستگی‌ها دیده می‌شود.

فسردگی

فسردگی فیزیکی

شواهد این فسردگی در نمونه‌های مطالعه شده به صورت آرایش نزدیک دانه‌ها در بایوکلسیت‌های فرامینیفرهای بتیک و شکستگی در بایوکلسیت‌هایی مانند رودیست‌ها و آلوئولینا دیده می‌شود که در بعضی جاها این شکستگی‌ها با سیمان کلسیتی پر شده است که در پکستون و رودستون‌های سازند سروک مشاهده می‌شود (شکل‌های 9D، E). برش نزدیک به گند نمکی در مقایسه با برش دورتر، فسردگی فیزیکی بیشتر صورت گرفته است که این فسردگی بیشتر به صورت شکستگی اجزای اسکلتی و جهت‌دار شدن رودیست‌ها دیده می‌شود.

فسردگی شیمیایی

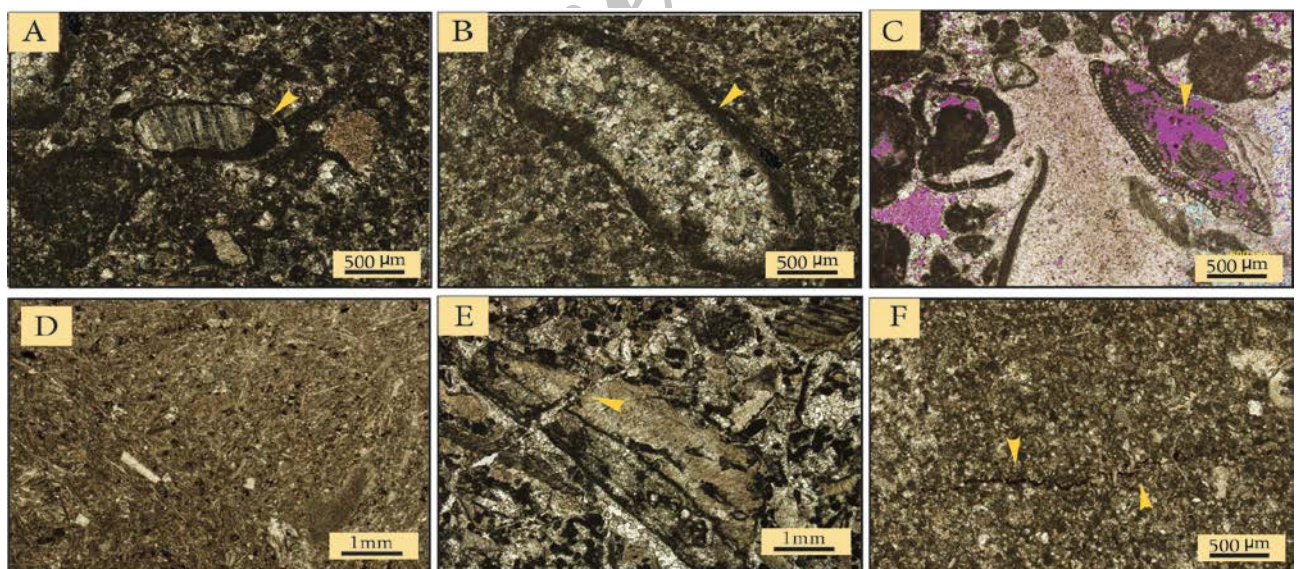
این فرایند در سازند سروک به صورت پراکنده در زمینه در اطراف بعضی اجزای کلسیتی در امتداد شکستگی‌های پرشده با سیمان کلسیتی در حاشیه بلورهای دولومیت و در داخل اجزای بایوکلسیتی دیده می‌شود (شکل D 10). همایتی شدن با نزدیک شدن به گنبد نمکی افزایش می‌یابد.

پیریتی شدن

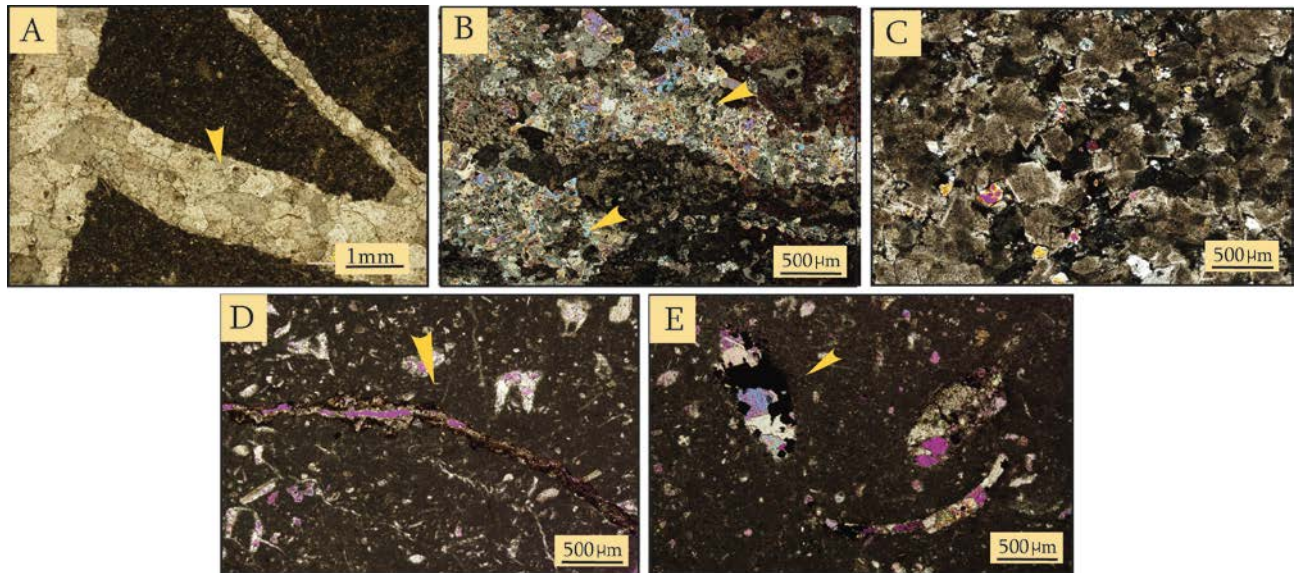
در نمونه‌های مطالعه شده سازند سروک، پیریت‌ها به صورت کوبیک جانشین شده در گل آهکی، استیلولیت‌ها، تخلخل‌های حفره‌ای و همراه با سیمان‌های کلسیتی پرکنده حفرات و در پوسته‌های فسیلی حل شده دیده می‌شوند (شکل E 10). پیریتی شدن به سمت گنبد نمکی کاهش یافته است.

دولومیت‌های مشاهده شده در سازند سروک به صورت ریزبلور در رخساره گل پشتیبان به صورت پراکنده در زمینه گلی هستند که جانشین گل آهکی می‌شوند و در بعضی موارد دولومیت‌ها در پوسته‌های فسیلی مانند مرجان جانشین شده‌اند. دولومیتی شدن بر مرجان‌ها در برش دورتر از گنبد تأثیرگذار نیست؛ ولی در نزدیک‌ترین برش به گنبد نمکی، دولومیتی شده‌اند. دولومیت‌های درشت بلور (به صورت ثانویه) و شکل‌دار در برش نزدیک به گنبد نمکی دیده می‌شوند (شکل C 10). پدیده دیاژنزی سیلیسی شدن و دولومیتی شدن بیشتر به منطقه تأثیر گنبد نمکی محدود می‌شود (Garcia-Garmilla and Elorza 1996). به نظر می‌رسد سیالات خارج شده از گنبد نمکی بر دولومیتی شدن و تبلور مجدد بلورهای دولومیت تأثیر گذاشته است.

همایتی شدن



شکل 9- فرایندهای دیاژنزی سازند سروک (A) میکریتی شدن حاشیه رو دیست (با فلش در شکل نشان داده شده است)- (B) XPL (C) نومورفیسم ایجاد شده در پوسته فسیلی (D) XPL- آنحلال آلتویلیتا (E) XPL- فشردگی خودهای رو دیستی و جهت دار شدن آنها- (F) شکستگی رو دیست و پرشگی آن با سیمان کلسیتی - XPL استیلولیتی شدن در رخساره پکستون - XPL



شکل ۱۰- فرایندهای دیاژنزی سازند سروک (A) شکستگی و پرشدگی آن با سیمان کلسیت هم‌بعد - (B XPL) سیلیسی‌شدن در برش نزدیک به گند نمکی کورده - (C XPL) تشکیل دولومیت‌های ثانویه در برش نزدیک به گند نمکی - (D PPI) هماتیتی‌شدن در حاشیه شکستگی‌های انحلال یافته (E XPL) پیریتی‌شدن در حاشیه حفرات و پوسته‌های پرشده با سیمان کلسیتی

سیمان بلوکی

این سیمان در سازند سروک، بیشتر در رخساره‌های کم‌عمق (وکستون، پکستونی و گرینستونی) به صورت پرکننده فضای بین آلوکم‌ها و حفرات یا به صورت پرکننده حفرات در اثر انحلال باپوکلست‌ها و پرشدگی آنها با سیمان دیده می‌شود. در بعضی نمونه‌ها در رنگ آمیزی با محلول آلیزارین فروسیانید پتاسیم به رنگ قرمز دیده می‌شوند که نشان‌دهنده نبود آهن در آنها است. این سیمان به صورت فابریک پویکیلوتاپیک نیز دیده می‌شود. اندازه این بلورها ممکن است به چندین میلی‌متر و بیشتر برسد. این سیمان به مقدار کمی در رخساره‌ها وجود داشته و در رخساره پکستون - گرینستونی دیده شده است که چند فرامینیفر بتیک را دربرگرفته‌اند.

(شکل‌های 11 A, B).

سیمانی‌شدن

مهمن‌ترین سیمان‌های تشکیل‌شده در سازند سروک، سیمان بلوکی، سیمان هم‌بعد، کلسیت دروزی، سیمان هم‌ضخامت و سیمان پرکننده شکستگی‌ها و رگه‌ها را شامل می‌شود. در حالت کلی سیمانی‌شدن به سمت گند نمکی افزایش یافته است. در برش دورتر از گند نمکی، سیمان موجود (بلوکی، هم‌بعد و دروزی) پرکننده شکستگی همراه با انحلال ولی در برش دور از گند نمکی، سیمان پرکننده با انحلال کمتری همراه است. در برش نزدیک به گند نمکی، بیشتر حفرات انحلال یافته با سیمان کلسیتی هم‌بعد یا بلوکی پر شده‌اند؛ ولی در برش دور، بیشتر حفرات انحلال یافته سیمانی نشده‌اند.

سیمان کلسیتی

انحلال یافته، حفرات و در رخساره‌های گرینستونی به صورت

پرکننده بین فضای بایوکلست‌ها دیده می‌شوند.

سیمان رو رشدی هم محور

در نمونه‌های مطالعه شده سازند سروک این سیمان در اطراف خردۀای اکینودرم در ریز رخساره‌های پکستون - گرینستون در محیط‌های کم عمق شلف داخلی تشکیل شده است (شکل .(11 E).

سیمان حاشیه‌ای هم ضخامت

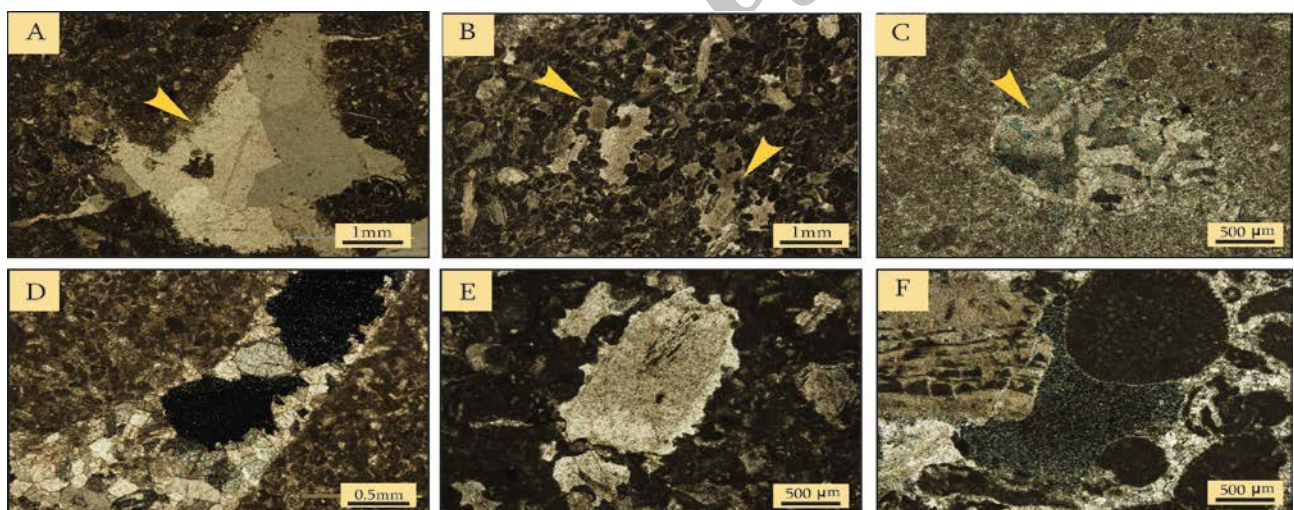
در نمونه‌های مطالعه شده، سیمان هم ضخامت در رخساره‌های گرینستونی تشکیل شده است. این سیمان معمولاً به صورت سوزنی و رشته‌ای در اطراف بایوکلست‌ها و به مقدار اندک در سازند سروک دیده می‌شود (شکل F).

سیمان موzaئیک دروزی

در نمونه‌های مطالعه شده، سیمان دروزی در شکستگی‌ها و حفرات انحلال یافته وجود دارد. درشت‌شوندگی بلورهای کلستیت به طرف مرکز حفره و شکستگی با مرزهای بین کریستالی مشخص دیده می‌شود (شکل C).

سیمان موzaئیک هم بعد

در نمونه‌های مطالعه شده از سازند سروک، بلورهای این نوع سیمان شکل هندسی خاصی ندارند و اندازه بلورهای آن تقریباً مساوی است. این سیمان در داخل فضای بین دانه، شکستگی‌ها، حفرات و پوسته‌های فسیلی انحلال یافته پر شده‌اند. در رخساره‌های وکستون و پکستون بیشتر به صورت پرکننده شکستگی‌ها (شکل D)، پوسته‌های فسیلی



شکل 11- فرایندهای دیاژنزی سازند سروک (A) سیمان بلوکی پرکننده حفره - (B XPL) تشکیل فابریک پویکلولوپیک که فرامینفرهای بتیک را دربرگرفته است (با فلش نشان داده شده است) - (C XPL) سیمان دروزی که اندازه بلورها به سمت مرکز درشت شده‌اند - (D XPL) پرشدگی شکستگی با سیمان کلستیت هم بعد - (E XPL) تشکیل سیمان رو رشدی هم محور در اطراف اکینودرم - (F XPL) تشکیل سیمان حاشیه هم ضخامت در اطراف بایوکلست‌ها در ریز رخساره گرینستون - XPL

این فرایندها در سه مرحله اثوزنر (محیط دیاژنز دریایی و متئوریک)، مزوژنز (محیط تدفینی کم عمق و عمیق) و تلوژنز (بالاًمدگی و متئوریک) دیده می‌شوند (شکل 12).

توالی پاراژنتیکی

فرایندهای دیاژنزی شناسایی شده در سنگ‌های کربناته سازند سروک و بررسی ارتباط زمان نسبی عملکرد آنها نشان می‌دهد

فرایندهای دیاژنری مؤثر در زیر و بالای سطح ناپیوستگی در دو برش به‌سمت گند نمکی تغییر می‌کند. در زیر سطح ناپیوستگی، فرایندهای دیاژنری فشردگی و شکستگی بایوکلست‌هایی مانند رودیست، اربیتولین، ایترالکلست و آلوئولینا افزایش یافته است. شکستگی و پرش‌دگی در برش K3 بیشتر به صورت انحلال یافته یا پرشده با سیمان کلسیتی (هم‌بعد و دروزی) دیده می‌شود؛ ولی در برش K2 این شکستگی‌ها با سیمان (کلسیت و دولومیت) پر شده‌اند. انحلال‌های ایجادشده مانند انحلال قالبی بایوکلست‌ها، حفره‌ای، کانالی و سیمانی‌شدن (بلوکی، هم‌بعد و دروزی) در برش K2 نسبت به K3 کاهش یافته است. در بالای این ناپیوستگی با نزدیک‌شدن به گند نمکی در برش K2 نسبت به K3، انحلال، دولومیتی‌شدن و هماتیتی‌شدن (در امتداد شکستگی) افزایش و سیمانی‌شدن (بلوکی) کاهش یافته است. در برش نزدیک به گند، حالت فشردگی شیمیایی همراه با سیمان هماتیت در ریزرخساره دولومیتی‌شده (متوسط بلور) دیده می‌شود؛ ولی در برش دور از گند، دولومیت‌های متوسط بلور به صورت پراکنده در زمینه گلی قرار گرفته است. در برش K1 (نزدیک‌ترین برش به گند نمکی) سیلیسی‌شدن و دولومیتی‌شدن (درشت بلور) دیده می‌شود. تغییرات فرایندهای دیاژنری در برش‌ها با نزدیک‌شدن به گند نمکی ممکن است با بالآمدگی نمک و تأثیر سیالات غنی از منیزیم، شور و گرم حاصل از گند‌های نمکی در ارتباط باشد و همچنین این تغییرات در اطراف گند نمکی نشان‌دهنده نفوذ مایعات در مجاورت گند و تأثیرات حرارت بالا در ارتباط با ساختار نمک (به‌دلیل هدایت رسانایی بالای نمک بر رسوبات اطراف) و سیالات داغ حاصل از گند‌های نمکی است.

نتیجه

سازند سروک در منطقه تاقدیس کورده (ناحیه فارس) از 10 ریزرخساره تشکیل شده که در محیط‌های شلف داخلی، میانی

ائوژنیز: واکنش مجموعه رسوبی با آب‌های منفذی در عمق تخمینی کمتر از 2 کیلومتر و دمای کمتر از 70 درجه سانتی‌گراد و تحت تأثیر سیستم رسوبی ائوژنر نامیده می‌شود. از فرایندهای دیاژنری در مرحله اول میکریتی‌شدن، سیمانی‌شدن (ایزوپکوس - رورشده)، فشردگی فیزیکی، میکریتی‌شدن و پیپریتی‌شدن در محیط دیاژنری دریابی صورت می‌گیرد. در دیاژنر محیط مئوریک، بعضی فرایندهای دیاژنری مثل سیمانی‌شدن (رورشده، هم‌بعد، بلوکی)، فشردگی فیزیکی، هماتیتی‌شدن و نئوموفیسیم دیده می‌شود (Heidari et al. 2014). انحلال‌های به صورت قالبی، حفره‌ای و بین دانه‌ای مشاهده شده به مرحله دیاژنر اولیه مربوط است.

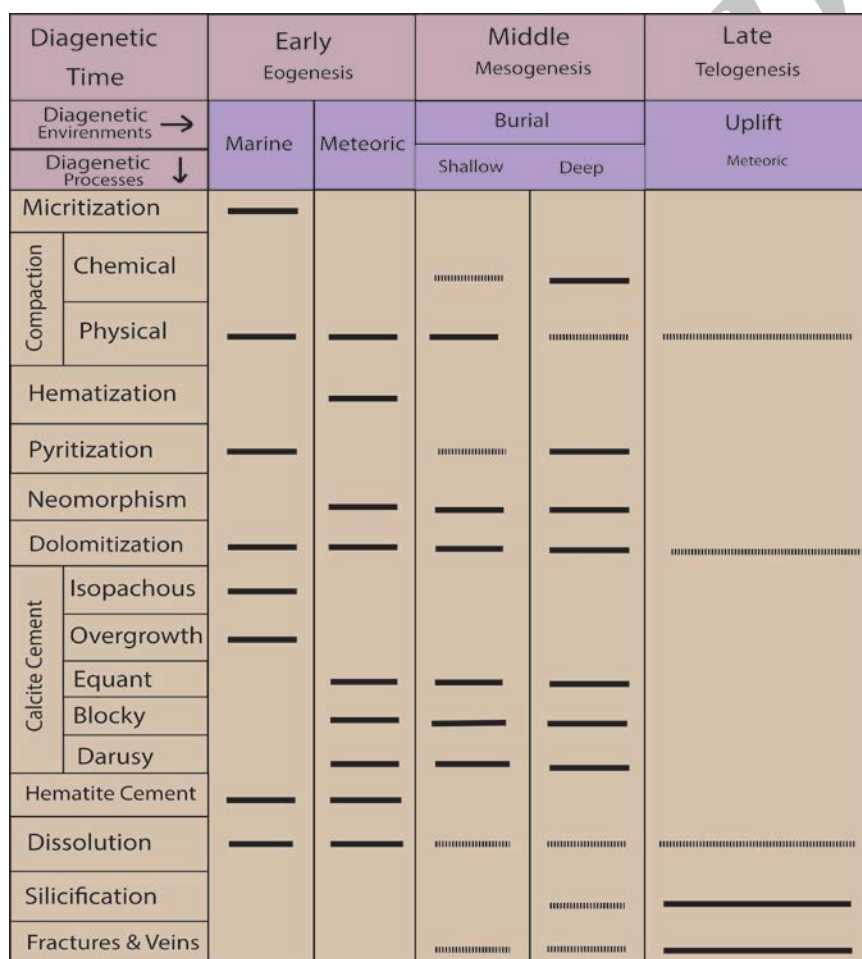
مزروژنر: این مرحله از دیاژنر به دنبال افزایش عمق دفن رسوبات (عمق دفن بیشتر از 2 کیلومتر) و افزایش فشار و دما (بیش از 70 درجه سانتی‌گراد) صورت می‌گیرد (Morad et al. 2000). از فرایندهای دیاژنری صورت گرفته در این مرحله به فشردگی مکانیکی و شیمیایی، نئومورفیسیم، تشکیل سیمان بلوکی، هم‌محور، سیمان پرکننده حجره‌های فسیلی، نسل اول شکستگی‌ها، شکستگی برخی از اجزای فسیلی (مانند اربیتولین و رودیست)، فشردگی شیمیایی یا انحلال فشاری (تشکیل استیلولیت‌ها)، پیپریتی‌شدن، سیلیسی‌شدن، دولومیتی‌شدن اشاره می‌شود.

تلوزنر: مرحله تلوزنر آخرین مرحله دیاژنر بوده است و در این مرحله از دیاژنر، فرایند شکستگی و ایجاد رگه در حین بالآمدگی صورت می‌گیرد (Heidari et al. 2014). شکستگی‌ها بر اثر بالآمدگی، انحلال سیمان‌های کلسیتی، تخلخل‌های ایجادشده در شکستگی‌ها در اثر نفوذ آب‌های مئوریک و فرایند سیلیسی‌شدن صورت گرفته است.

این سازند به‌دلیل وجود ناپیوستگی فرسایشی میان سازند سروک در برش‌های k2 و K3 (شکل 2) به دو بخش زیر سطح ناپیوستگی (Unit1) و بالای سطح ناپیوستگی (Unit2) تقسیم شده است. در دو برش K2 و K3، زیر سطح ناپیوستگی را سنگ آهک ضخیم لایه و بالای سطح ناپیوستگی را سنگ آهک نازک لایه تشکیل داده است.

(فیزیکی و شیمیایی)، شکستگی، فرایندهای جانشینی (سیلیسی شدن، دولومیتی شدن، هماتیتی شدن و پیریتی شدن) و فرایند سیمانی شدن (سیمان هم بعد، دروزی، پویکیلوتاپیک، هم بعد، رورشدی هم محور و حاشیه‌ای هم ضخامت) را شامل می‌شود. شکستگی با یوکلست‌ها، کاهش اتحلال، افزایش فشردگی، دولومیتی شدن، سیلیسی شدن با نزدیک شدن به گندم نمکی بیشتر شده است.

و خارجی نهشته شده است. به دلیل شبیه زیاد رسوبات، اختلاف ضخامت موجود بین سه برش برداشت شده، کاهش رسوبات شیلی با نزدیک شدن به گندم نمکی، کم عمق شدگی محیط و تغییر رخساره‌های عمیق به رخساره‌های مناطق کم عمق با نزدیک شدن به گندم نمکی محیط رسوبی آن از نوع شلف کربناته است. در منطقه، فرایندهای دیاژنزی تأثیرگذاشته، میکریتی شدن، نئومورفیسم، اتحلال، فشردگی



شکل 12- توالی پاراژنتیکی پیشنهادی برای سازند سروک در تاقدیس کورده. خطوط ممتد نشان‌دهنده عملکرد فرایند و خطوط منقطع نشان‌دهنده احتمال عملکرد فرایند است.

از گروه زمین‌شناسی دانشگاه فردوسی مشهد و مدیریت اکتشاف نفت برای فراهم کردن امکانات موردنیاز و از معاونت

تشکر و قدردانی

- Assadi A. Honarmand J. Moallemi, S.A and Abdollahie-Fard, I. 2016. Depositional environments and sequence stratigraphy of the Sarvak Formation in an oil field in the Abadan Plain, SW Iran. *Facies*, 62: 22 p.
- Dunham R.J. 1962. Classification of carbonate rocks according to depositional texture, in W.E. Ham (Ed.), *Classification of carbonate rocks*. American Association of Petroleum Geologists: 108 – 121.
- Ehrenberg S.N. Aqrabi A.A.M and Nadeau P.H. 2008. An overview of reservoir quality in producing Cretaceous strata of the Middle East. *Petroleum Geoscience*, 14: 307-318.
- Embry A. F and Klovan, J.E. 1972. A Late Devonian reef tract on Northeastern Banks Island, NWT. *Canadian Petroleum Geology Bulletin*, 19: 730-781.
- Flügel E. 2010. *Microfacies of carbonate rock, analysis interpretation and application*. Berlin-Heidelberg, New York, Springer, 976 p.
- Garcia-Garmilla. F. and Elorza. J. 1996. Dolomitization and Synsedimentary salt tectonics: the upper Cretaceous Cueva Formation at El Ribero, Northern Spain. *Geological Magazin*, 133(6): 721-737.
- Ghabeishavi A. Vaziri-Moghadam H. Taheri A. and Taati F. 2010. Microfacies and depositional environment of the Cenomanian of the Bangestan anticline. SW Iran. *Journal of Asian Earth Sciences*, 37(3): 275-285.
- Giles K. A. and Lawton, T.F. 2002. Halokinetic sequence stratigraphy adjacent to the El Papalote diapire, northeastern Mexico. *AAPG Bulletin*. 85(5): 823-840.
- Giles. K. A. Rowan. M. G. 2012. Concepts in halokinetic-sequence deformation and stratigraphy, In: G. I. Aslop, S. G. Anchor, A. J. Hartley and N. T. Grant (Eds.), *Salt Tectonics, Sediments and Prospectivity*. Geological Society, London, Special Publication, 363: 7-31.
- Hajikazemi H. Al-Aasm I. S and Coniglio M. 2012. Chemostratigraphy of Cenomanian-Turonian Carbonates of the Sarvak Formation, Southern Iran. *Journal of Petroleum Geology*, 35(2):187-206.
- Harrison J.V. 1930. The geology of some salt plugs in Laristan (Southern Persia). *Quarterly Journal of the Geological Society*, 86: 463-522.
- Heidari A. Gonzalez, L.A. Mahboubi A. and Moussavi-Harami R. 2014. Diagenetic Model of Carbonate Rocks of Guri Member of Mishan Formation (Lower to Middle Miocene) SE Zagros Basin, Iran. *Geological Society of India*, 84: 87-104.

پژوهشی دانشگاه فردوسی بهدلیل حمایت مالی طرح پژوهشی
به شماره 3/38477 و نیز از داوران محترم این مقاله برای
توجهشان تشکر و قدردانی می‌شود.

منابع

- حاجیان م. فرزانه ف. باقری ج. طایفه م. خالقی م. 1389. چینه‌نگاری و ژئوشیمی توالی‌های رسوبی رخنمون یافته در گنبد‌های نمکی نواحی فارس و هرمزگان (بخش اول جلد اول): گزارشات مدیریت اکتشاف نفت. 327.
- حسنپور ج. 1392. ارتباط ساختاری دیاپیرهای نمکی سلامتی، سیاه سرخ و دادنچان با گسل کره بس و چین‌های همچوار (جنوب باختری شیراز). پایان نامه کارشناسی ارشد، دانشگاه شهید بهشتی تهران.

225

- Aghaei A. Mahboubi A. Moussavi- Harami R Nadjafi M. and Chakrapani G.J. 2014. Carbonate Diagenesis of the upper Jurassic succession in the west of Binalud- Eastern Alborz (NE Iran). *Journal Geological society of India*, 83: 311-328.
- Aghaei A. Mahboubi A. Moussavi-Harami R. Heubeck C. and Nadjafi M. 2012. Facies analysis and sequence stratigraphy of an Upper Jurassic carbonate ramp in the Eastern Alborz range and Binalud Mountains, NE Iran. *Facies*, 27p.
- Andrie J. R. Giles K.A. Lawton, T. F. Rowan, M. G. 2012. Halokinetic-sequence stratigraphy, fluvial sedimentology and structural geometry of the Eocene Carraza Formation along Lapopa Salt well, Lapopa Basin, Mexico: In: G. I. Aslop, S. G. Anchor, A. J. Hartley and N. T. Grant (Ed.), *Salt Tectonics, Sediments and Prospectivity*. Geological Society, London, Special Publication, 363: 59-79.
- Asadimehmandost E. Adabi M.H. and Wood A.D. 2013. Microfacies and geochemistry of the Middle Cretaceous Sarvak Formation in Zagros Basin Izeh Zone, SW Iran. *Sedimentary Geology*, 293: 9-20.
- Aschoff J. L. and Giles K. A. 2005. Salt diapir-influenced, shallow-marine sediment dispersal patterns: Insights from outcrop analogs. *AAPG Bulletin*, 84(4): 447-469.

- Society, London. Special Publications, 330: 211-251.
- Pittet B. Van Buchem F. S. P. Hillgarther H Razin. P. Grotsch J. and Droste H. 2002. Ecological succession, Palaeoenvironmental change, and depositional sequences of Barremian-Aptian shallow-water carbonates in Northern Oman. *Sedimentology*, 49: 555-581.
- Player R. A. 1969. Salt diapirs study, National Iranian Oil Company, Exploration Division, Report No. 1146. (unpublished).
- Rahimpour-Bonab H. Mehrabi H. Navidtalab A. Omidvar M. Enayati-Bidgoli A. H. Sonei R. Sajjadi F. Amiri-Bakhtyari H. Arzani N. and Izadi-Mazidi E. 2013. Palaeo-Exposure surfaces in Cenomanian-Santonian Carbonate reservoirs in the Dezful Embayment, SW Iran. *Journal of Petroleum Geology*, 36(4): 335-362.
- Razin, P. Taati F. Van Buchem F. S. P. 2010. Sequence stratigraphy of Cenomanian-Turonian Carbonate platform margins (Sarvak Formation) in the High Zagros, SW Iran: an outcrop reference model for the Arabian Plate. Geological Society, London, Special Publications, 329: 187-218.
- Schulze. F. Kuss. J. and Morzouk. A. 2005. Platform configuration, microfacies and cyclicity of the upper Albian to Turonian of West-Central Jordan. *Facies*, 50: 505-527.
- Setudehnia A. 1978. The Mesozoic sequence in South-West Iran and Adjacent Areas: *Journal of Petroleum Geology*, 1: 3-42.
- Sherkati Sh. and Letouzey J. 2004. Variation of structural style and basin evolution in the Central Zagros (Izeh Zone and Dezful Embayment), Iran: *Marine and Petroleum Geology*, 21: 535-554.
- Soleimani Asl Sh. and Aleali M. 2016. Microfacies patterns and depositional environments of the Sarvak Formation in the Abadan Plain, Southwest of Zagros, Iran. *Scientific Research Publishing*, 6(3): 201-209.
- Tucker M.E. and Wright V.P. 1990. *Carbonate Sedimentology*. Black-Well, Oxford: 482 p.
- Vincent B. Van Buchem F. S. P. Bulot L. G. Jalali M. Swennen R. Hosseini A. S. and Baghbani D. 2015. Depositional sequences, diagenesis and structural control of the Albian to Turonian carbonate platform systems in Coastal Fars (SW Iran). *Marine and Petroleum Geology*, 63: 64-67.
- Wilson. J. L. 1975. *Carbonate facies in geologic history*. Springer Verlag, Newyork: 439 p.
- Jahani S. Callot J. P. Letouzey J. and Lamotte D.F.D. 2009. The eastern termination of the Zagros Fold- and-Thrust Belt, Iran: Structures, evolution, and relationships between salt plugs, folding, and faulting. *Tectonics*, 28: 22.
- Jahani S. Callot J. P. Frizon de Lamotte D. Letouzey J. Leturmy P. 2007. The salt diapirs of the eastern Fars Province (Zagros, Iran): A brief outline of their past and present. Springer Berlin Heidelberg, 289-308.
- James G. A. and Wynd J. G. 1965. Stratigraphic nomenclature of Iranian oil consortium agreement area. *Am. Ass. Petroleum Geolo*, 49: 2182-2245.
- Kernen R. A. Giles K. A. Rowan M. G. Lawton T. F. and Hearon T. E. 2012. Depositinal and halokinetic-sequence stratigraphy of the Neoproterozoic Wonoka Formation adjacent to Patawarta allochthonous salt sheet, Central Finders Ranges, South Australia. Geological Society, London, Special Publication, 363: 81-105.
- Mehrabi H. Rahimpour-Bonab H. Hajikazemi E. and Jamalian A. 2015. Controls on depositional facies in upper Cretaceous carbonate reservoirs in the Zagros area and the Persian Gulf, Iran. *Facies*, 61: 24p.
- Morad S. Ketzer J. M. and De Ros L. F. 2000. Spatial and temporal distribution of diagenetic alterations in siliciclastic rocks: implications for mass transfer in sedimentary basins. *Sedimentology*, 47(1): 95-120.
- Palma R. Lopez-gomez J. And Piethe, R. 2007. oxfordian ramp system (La Manga Formation) in the Baradas Blancas area (Mendoza Province) Neaqueen Basin, ArgentiA. Facies an depositional sequences *Sedimentary Geology*, 195: 113 -134.
- Perotti C. Chiariotti L. Bresciani I. Cattaneo L. Toscani G. 2016. Evolution and timing of salt diapirism in the Iranian sector of the Persian Gulf. *Tectonophysics*, 679: 180-198.
- Piryaei A. Reijmer J. J. G. Borgomano J. and Van Buchem F. S. P. 2011. Late Cretaceous tectonic and sedimentary evolution of the Bandar AbbasArea, Fars Region, Southern Iran. *Journal Petroleume Geology*, 34: 157-180.
- Piryaei A. Reijmer J. J. G. Van Buchem F. S. P. Yazdi-Moghadam M. Sadouni J. and Danelian T. 2010. The influence of Late Cretaceous tectonic processes on sedimentation pattern along the Northeastern Arabian Plate Margin (Fars Province, Sw Iran). *Geological*